

Kontrola temperature uljnih transformatora promenom brzine obrtanja ventilatora

NIKOLA Z. OR EVI , Univerzitet u Beogradu,

Elektrotehnički fakultet, Beograd

DANE M. ŽAKULA, Univerzitet u Beogradu,

Elektrotehnički fakultet, Beograd

MILICA M. JEVTIĆ, Univerzitet u Beogradu,

Elektrotehnički fakultet, Beograd

RADOJICA Ž. TOMAŠEVIĆ, Univerzitet u Beogradu,

Elektrotehnički fakultet, Beograd

ZORAN R. RADAKOVIĆ, Univerzitet u Beogradu,

Elektrotehnički fakultet, Beograd

Originalni naučni rad

UDC: 621.314.212

DOI: 10.5937/tehnika1601081D

U radu je prikazan realizovani sistem za kontrolu broja obrtanja ventilatora kojima se hlađi mali ogledni uljni transformator snage 6.6 kVA. Generalno, mogu nositi upravljanja i optimizacije hlađenja zavisne od načina hlađenja i konstrukcije transformatora; cilj upravljanja rashladnim sistemom načelo može biti smanjenje potrošnje električne energije ventilatora/pumpi i održavanje temperature gornjeg ulja na konstantnoj vrednosti, kako bi se smanjilo širenje i skupljanje ulja i ulazak vlage iz vazduha. Pri tome se mora voditi računa o ograničenjima: temperatura najtoplijeg tačke (eng. hot-spot), kako njena trenutna vrednost, tako i vrednost koja bi se dostigla pri planiranom preopterećenju, ne sme da pređe dozvoljenu granicu.

Analize u radu se zasnivaju na vrednostima u stacionarnim topotnim stanjima (dobijene proračunima i merenjima), pri različitim opterećenjima transformatora. Osnovni istraživački doprinos rada je utvrđivanje zavisnosti termičkih karakteristika transformatora od brzine obrtanja ventilatora.

Ključne reči: optimizacija hlađenja, AF hlađenje, temperatura najtoplijeg tačke, temperatura gornjeg ulja, energetski transformator

1. UVOD

Energetski transformatori po pravilu rade u uslovljima promenljivog opterećenja (promenljive struje) i temperature ambijenta. Posledi to, gubici i temperature unutar transformatora se menjaju u toku vremena. Zbog velikih masa i termičkih kapaciteta, tokom ograničenog vremena kroz transformator može protocići struja veća od nominalne, što predviđaju i standardi za opterećivanje transformatora [1], [2]. Vrednosti temperature ulja i vrste izolacije, kao i temperatura konstruktivnih delova, pri tome moraju da budu ispod građevinskih vrednosti pri kojima bi došlo do trenutnog ošteteња ili neprihvatljivo velikog kumulativnog pogoršanja svojstava izolacije (starenja izolacije). Zbog kompleksnosti topotnih pojava, kao i zbog potrebe da matematički modeli koji se izvršavaju kontinualno (eng. on-line) budu jednostavniji, u praksi postoji problem preciznog proračuna temperature ulja i vrste izolacije u svakom trenutku, kao i njihova procena pri planiranom opterećenju. Više o ovom problemu se može naći u [3].

Viši nivo tehničke kompleksnosti se javlja kada se uvede kontrola rashladnog sistema, jer zbog toga dolazi do promena termičkih parametara. Upravljanje rashladnim sistemom transformatora je jedna od standardnih funkcija savremenih sistema za nadzor i upravljanje energetskim uljnim transformatorima, kao važnim i skupim elementima elektroenergetskih i industrijskih postrojenja. Uobičajeni načini upravljanja rashladnim sistemom su uključenje i isključenje ventilatora (za prужeno strujanje vazduha (AF)) i / ili

Adresa autora: Nikola Or evi , Univerzitet u Beogradu, Elektrotehnički fakultet, Beograd, Bulevar kralja Aleksandra 73

Rad primljen: 24.11.2015.

Rad prihvat: 11.01.2016.

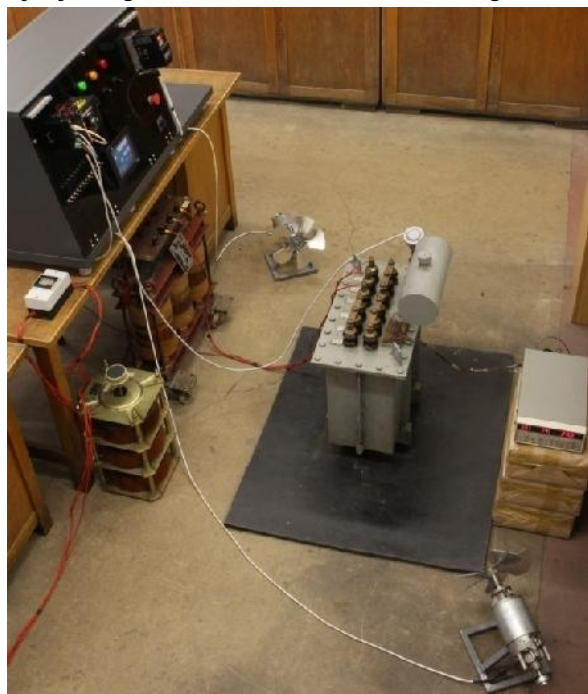
pumpi (za pritudno (OF) ili dirigovano (OD) strujanje ulja). Naprednija varijantna upravljanja je podešavanje brzine obrtanja ventilatora / pumpi, a time i protoka vazduha/ulja, koji uti u na intenzitet prenosa toplote, a time i na temperature vrste izolacije i ulja.

U radu je prikazan realizovani sistem za kontrolu brzine obrtanja ventilatora kojim se hla mali ogledni uljni transformator snage 6.6 kVA. Na bazi izvršenih merenja i eksperimenata su diskutovane stacionarne termi ke karakteristike transformatora, u uslovima razli itih brzina obrtanja ventilatora, kao i prelaska u režim hla enja prirodnim strujanjem vazduha (AN), pri razli itim nivoima strujnog optere enja tra nsformatora.

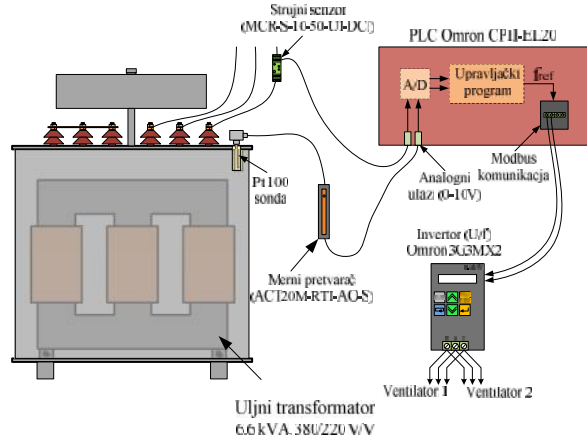
Opis eksperimentalne postavke

Sistem za kontrolu brzine obrtanja ventilatora je razvijen, implementiran i testiran na malom laboratorijskom transformatoru $S=6.6 \text{ kVA}$, $U=380/220 \text{ V/V}$, $I=10/17.32 \text{ A/A}$, $f=50 \text{ Hz}$, $u_k=5\%$, $\text{Yy}0$. Testovi su vršeni na transformatoru u kratkom spoju (kratko spojeni namotaji niženaponske strane). Sistem za upravljanje brzinom obrtanja ventilatora je baziran na primeni programabilnog logi kog kontrolera (PLC).

Izgled eksperimentalne postavke je prikazan na slici 1. Na slici 2 je prikazan šema veza, odnosno formiranje informacije o struci (mereno u jednoj od faza) i o temperaturi gornjeg ulja (ulje u džepu), koje se dovode do centralnog PLC modula, i generisanje reference frekventnom pretvara u sa koga se napajaju motori ventilatora. Pored toga, vršeno je merenje lokalnih vrednosti temperatura (pomo u 11 termoparova, od kojih je 8 ugra eno unutar transformatorskog suda).

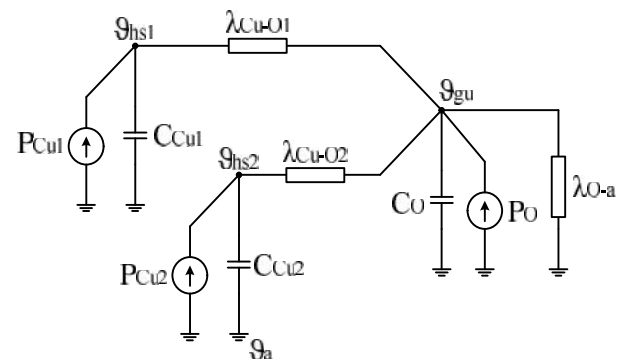


Slika 1 - Izgled eksperimentalne postavke



Slika 2 - Konfiguracija upravlja kog dela sistema termi ki model transformatora

Za odre ivanje temperatura tokom prelaznih topotnih procesa može se koristiti toplotna šema sa tri vora, prikazana na slici 3. vorovima toplotne šeme su pridružene temeperature najtoplje ta ke (hot-spot) ϑ_{hs1} više- (1) i niže- (2) naponskog namotaja i gornjeg ulja ϑ_{gu} . Izme u svakog od navedena tri vora i referentne ta ke toplotne šeme (koja se nalazi na temperaturi ambijenta ϑ_a) su povezani termi ki kapaciteti (C), svakog od namotaja (C_{Cu1} i C_{Cu2}), odnosno ostatka transformatora - ulja, magnetnog kola, konstruktivnih delova i suda (O). U vorišta se injektiraju gubici (P): gubici u namotajima ($Cu1$ i $Cu2$) zavise od optere enja, dok se gubici u ostatku transformatora (O) sa stoje od komponente (gubici u magnetnom kolu) koja se približno ne menja sa optere enjem i od komponente (gubici u konstruktivnim delovima i sudu) koja zavisi od rasutog fluksa, odnosno od optere enja. Prenos toplote izme u delova transformatora kojima su u toplotnoj šemi pridružena navedena tri vorišta je modelovan toplotnim provodnostima (λ) izme u svakog od namotaja i ostatka transformatora ($Cu-O1$ i $Cu-O2$), kao i ostatka transformatora i ambijenta ($O-a$).



Slika 3 - Toplotna šema sa tri vora

Za stacionarna toplotna stanja toplotna šema se pojednostavljuje tako što se iz nje izostavljaju toplotni kapaciteti.

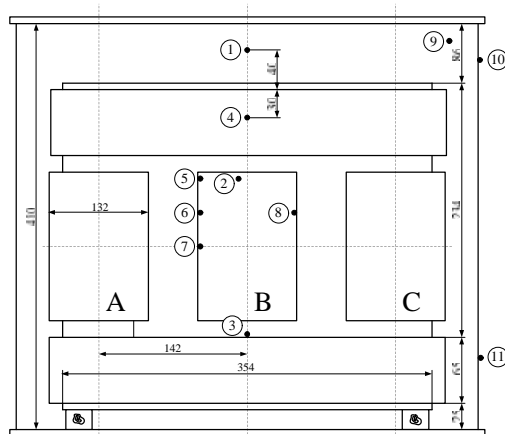
Toplotne provodnosti nisu konstantne veliine, kao što se pokazati u sledećem odeljku. U slučaju prirodnog strujanja fluida, koeficijent prelaska topote strujanjem i topotna provodnost zavisi od temperature, pre svega od razlike temperature u vorišnim tačkama koje povezuje. U slučaju prinudnog strujanja fluida, koeficijent prelaska topote strujanjem i topotna provodnost dominantno zavise od brzine strujanja fluida, koja je određena radnom tokom pumpa / ventilatora. U slučaju korištenje eksperimentalne postavke, radi se o transformatoru kod koga je strujanje ulja prirodno (ON), a strujanje vazduha prinudno (AF) ili prirodno (AN). Dakle, zavisnost topotne provodnosti od brzine strujanja fluida je bila od interesa samo za topotnu provodnost λ_{O-a} .

4. PROMENLJIVOST TOPOTNIH PROVODNOSTI

Određivanje zavisnosti topotnih provodnosti od temperature/brzine strujanja fluida se može odrediti korištenjem softvera baziranog na detaljnem termohidrauličkom modelu [4], na način slijedom koji je korišten u [5]. Druga mogućnost, koja je primenjena u ovom radu, je da se parametri u funkcionalnim zavisnostima topotne provodnosti odrede iz rezultata merenja na transformatoru.

A. Topotne provodnosti u ONAN režimu rada

Za određivanje ove topotne provodnosti su korišteni rezultati merenja prikazani u [6]. Za niz uspostavljenih stacionarnih topotnih stanja, pri razliitim strujama, pri kratko spojenoj niženaponskoj strani transformatora (sekundara), merena je srednja temperatura namotaja sekundara - $\bar{T}_{Cu,s}$, temperatura ambijenta - \bar{T}_a , kao i 11 lokalnih vrednosti temperature prikazanih na slici 4 (2 sa spoljne strane suda - pozicije 10 i 11 - \bar{T}_{sg} i \bar{T}_{sd} , ulje u džepu (pozicija 9 - \bar{T}_{gu}), gornji jaram magnetnog kola (4), 3 lokalne vrednosti temperature ulja unutar suda (1-3) i 4 lokalne vrednosti temperature unutar namotaja (5-8).



Slika 4 - Raspored termoparova

Iz merenih vrednosti je određivan porast temperature (ΔT): gornjeg \bar{T}_{gu} i srednjeg ulja \bar{T}_{su} u odnosu na ambijent, kao i najtoplje tačke namotaja - \bar{T}_{hs} i srednje temperature namotaja - $\bar{T}_{Cu,s}$ u odnosu na ambijent:

$$\Delta T_{su} = \left(\bar{T}_{gu} - \frac{\bar{T}_{sg} - \bar{T}_{sd}}{2} \right) - \bar{T}_a \quad (1)$$

$$\Delta T_{hs} = \bar{T}_{gu} + 1.1 \cdot ((\bar{T}_{Cu,s} - \bar{T}_a) - \Delta T_{su}) \quad (2)$$

Polazeći od rezultata merenja prikazanih u [6] formirana je tabela 1, koja je korištena za određivanje funkcionalnih zavisnosti topotnih provodnosti u ONAN režimu rada. Kao što je već napomenuto i kao što se vidi iz tabele 1, za namotaje je data jedna temperatura. Porasti temperature namotaja u odnosu na ulje mogu biti različiti za različite namotaje, ali njihova razlika kod dobro projektovanih transformatora treba da bude mala, što je slučaj kod razmatranog transformatora. Posledica toga je "sažimanje vorova" 1 i 2 u topotnoj šemi (slika 3), pri čemu topotna provodnost između vora i ostatka transformatora postaje jednaka zbiru provodnosti ($\lambda_{Cu-O1} + \lambda_{Cu-O2}$), a topotni kapacitet u voru namotaja zbiru topotnih kapaciteta $C_{Cu1} + C_{Cu2}$.

Tabela 1. Porasti temperature i snage gubitaka u ONAN režimu rada transformatora (K)

Struja (A)	ΔT_{su}	$\Delta T_{Cu,s} - \Delta T_{su}$	ΔT_{gu}	$\Delta T_{hs} - \Delta T_{gu}$	P_{Cu} (W)	P_{konstr} (W)
5.8	9.3	9.2	10.8	10.2	92	8
6.5	10.5	10.8	12.1	11.9	115	10
7.8	12.5	15.5	15	17.1	168	12
9	19.7	17	22.5	18.7	233	17
10	24.9	21.2	28.2	23.3	300	20
11	25.6	28.3	29.3	31.1	379	21
12.8	33.1	38	37.7	41.9	526	24

Topotne provodnosti koje povezuju vor namotaja i vor ostatka transformatora su jednakе kolniku gubitaka u namotajima i razlike temperature u ovim vorovima. Uobičajena forma funkcionalne zavisnosti topotnih provodnosti, primenjena i u [6], glasi

$$\Lambda = K \cdot \Delta T^n \quad (3)$$

Detaljni topotni proračuni [4] pokazuju da topotne provodnosti ne zavise samo od razlike temperature, već i od drugih parametara, na primer i od apsolutne vrednosti temperature (to je pre svega posledica promene viskoznosti ulja, koja se intenzivno menja sa promenom temperature ulja), tako da bi precizniji proračuni zahtevali i uvođenje ovog uticaja na topotne provodnosti. Parametri K i n su određeni minimizacijom sume kvadrata odstupanja vrednosti funkcije u svakoj tački (za svaku od snaga za koju je registrovano

stacionarno topotno stanje) od vrednosti odre enih iz merenja (kao kolika snaga gubitaka u namotajima i izmerenih razlika temperatura).

Opisani postupak je primenjen na topotnu provodnost $Cu-O$, kao i za topotnu provodnost $O-a$ (u tom sluaju su merodavni ukupni gubici (suma gubitaka u namotajima i u konstruktivnim delovima transformatora - pošto su ogledi vršeni u kratkom spoju, snaga gubitaka u magnetnom kolu je zanemarljiva).

Opisani postupak je primenjen za dve varijante reprezentativnih temperatura u vorištima topotne šeme: (1) najtoplja ta ka i gornje ulje, kao kritičnih vrednosti temperature vrste izolacije namotaja i ulja i (2) srednja temperatura namotaja i srednje ulje; srednja temperatura namotaja je korisna za određivanje gubitaka.

Snaga gubitaka u namotajima zavisi od strujnog opterećenja i temperature namotaja i može se izračunavati prema sledećem izrazu:

$$P_{Cu} = \left(f \cdot \frac{235 + [_{Cu}]_{ref}}{235 + [_{Cu}]_{ref}} + (1-f) \cdot \frac{235 + [_{Cu}]_{ref}}{235 + [_{Cu}]_{ref}} \right) \cdot P_{Cu}^{ref} \cdot \left(\frac{I}{I_n} \right)^2 \quad (4)$$

gde je: (I/I_n) relativno strujno opterećenje (odnos stvarne i nominalne struje), $f = 0.946$ odnos gubitaka koji bi se imali pri proticanju jednosmerne struje ija je vrednost jednaka efektivnoj vrednosti naizmenične struje i ukupnih gubitaka u namotajima, $[_{Cu}]_{ref} = 72.2^\circ\text{C}$ referentna srednja temperatura namotaja, $P_{Cu}^{ref} = 299.87\text{W}$ referentna snaga gubitaka u namotaju (pri referentnoj srednjoj temperaturi namotaja i nominalnoj struci). U ustaljenom topotnom stanju važi

$$P_{Cu} = K_{1(2)} \cdot ([_{Cu}]_{ref} - [_{Cu}]_{su})^{n_{1(2)+1}} \quad (5)$$

i

$$P_{Cu} + P_{konstr} = K_{2(2)} \cdot ([_{Cu}]_{ref} - [_{Cu}]_{su})^{n_{2(2)+1}} \quad (6)$$

Rešavanjem sistema jednačina (4)-(6), korišćenjem vrednosti gubitaka u konstruktivnim delovima transformatora iz tabele 1, dolazi se do vrednosti srednje temperature ulja i srednje temperature namotaja u ustaljenom stacionarnom stanju pri definisanom strujnom opterećenju i temperaturi ambijenta.

Parametri $K_{1(2)}$, $n_{1(2)}$, $K_{2(2)}$ i $n_{2(2)}$ se mogu odrediti minimizacijom sume kvadrata odstupanja izračunatih od izmerenih vrednosti temperature $[_{Cu}]_{ref}$ i $[_{Cu}]_{su}$. Na osnovu podataka iz tabele 1 (detalji o načinu određivanja raspodele gubitaka se mogu naći u [6]), dolazi se do

$$\} _{1(2)} = 7.5463 \cdot ({}_{Cu}^{ref} - {}_{Cu}^{su})^{0.1738}$$

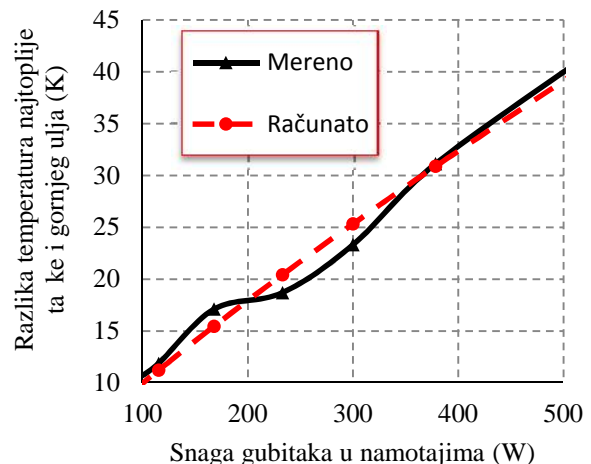
$$\} _{2(2)}^{AN} = 5.2296 \cdot {}_{Cu}^{su}^{0.3233}$$

Na sličan način se dolazi i do parametara topotnih provodnosti za najtoplju taku namotaja i gornje ulje:

$$\} _{1(1)} = 6.7476 \cdot ({}_{ulj}^{hs} - {}_{ulj}^{gu})^{0.1738}$$

$$\} _{2(1)}^{AN} = 4.0239 \cdot {}_{ulj}^{gu}^{0.3489}$$

Ilustracije radi, na slici 5 je prikazan rezultat "fitinga" parametara $\} _{1(1)}$ iz eksperimentalno dobijenih vrednosti.



Slika 5 – Razlike temperature najtoplje tako i namotaja i gornjeg ulja dobijene merenjima i funkcije topotne provodnosti

Na osnovu podataka iz tabele 1, može se postaviti izraz za određivanje gubitaka u konstruktivnim delovima u zavisnosti od strujnog opterećenja:

$$P_{konstr} = 2.2265 \cdot I - 4.0223 \quad (7)$$

gde I predstavlja struju višenaponske strane. Formule (4) i (7) su korištene za određivanje gubitaka pri radu transformatora u ONAF režimu rada, pri razliitim brzinama obrtanja ventilatora i razliitim opterećenjima; niz eksperimentiranih u ONAF režimu rada, na osnovu kojih su uspostavljene funkcionalne zavisnosti topotnih provodnosti koje karakterišu prelazak topotele sa ulja na ambijent je prikazan u sledećem odeljku. Može se smatrati da se karakteristike prenosa topotele sa namotaja na ulje malo menjaju, odnosno da funkcionalne zavisnosti $\} _{1(1)}$ i $\} _{2(2)}$ ostaju približno iste.

B. Topotna provodnost sa ulja na vazduh u ONAF režimu

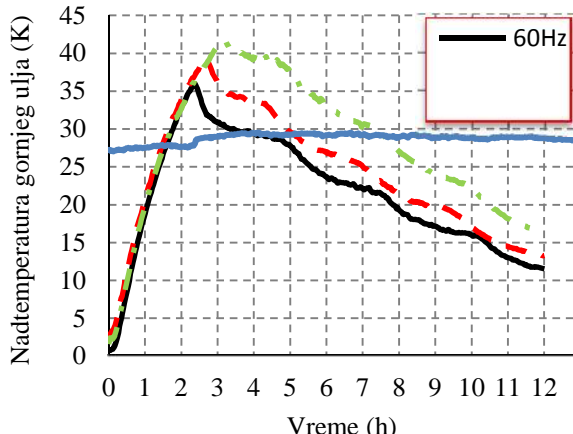
Na eksperimentalnoj postavci, prikazanoj na slici 1, izvršen je niz eksperimentiranih tokom kojih su, korišćenjem razvijenog sistema za nadzor i upravljanje prikazanog na slici 2, registrovani podaci o struci i 12 lokalnih vrednostima temperaturu.

Kao primer, na slici 6 je prikazana promena temperature ulja u džepu pri konstantnoj brzini obrtanja ventilatora (za svaku od 12 stanosti napajanja 60 Hz,

45 Hz i 30 Hz), pri čemu su strujna opterećenja menjana u koracima 1.6, 1.4, 1.2 i 1 r.j.; sa grafika promene temperature se vidi da je eksperiment trajao duže od 12 sati, zbog čega je bilo od interesa njegovo skraćivanje, ali bez gubitka informacije o dinamici termičkog procesa. Eksperiment je uvek započinjan maksimalnom strujom (1.6 r.j.), sa isključenim ventilatorima, kako bi se transformator što pre zagrejao, posle čega je na motor ventilatora dovođen napon konstantne učestalosti i struja stepenasto smanjivana (od 1.6 preko 1.4 i 1.2 do 1 r.j.). Svaki od perioda konstantnog opterećenja je trajao dovoljno dugo da se iz njega mogu odrediti parametri k (stacionarna razlika temperatura gornjeg ulja i ambijenta) i τ (vremenska konstanta), traženjem minimalne sume kvadrata odstupanja vrednosti dobijenih merenjem u odnosu na vrednosti izračunate pomoću funkcije

$$\Delta T(t) = \Delta T_p + (\Delta T_k - \Delta T_p) \cdot \left(1 - e^{-\frac{t}{\tau}} \right), \quad (8)$$

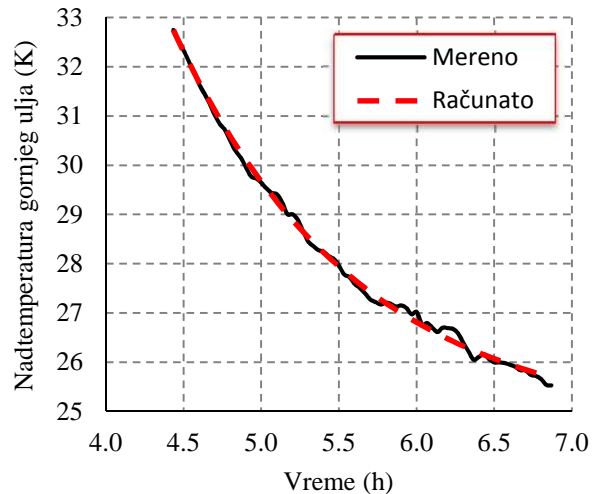
gde je ΔT_p početna razlika temperatura. Primer primene korišćenog Excel-ovog alata Solver za minimizaciju sume kvadrata je prikazan na slici 7. Vrednosti k dobijene primenom opisanog postupka su prikazani u tabeli 2.



Slika 6 – Rezultati merenja

Tabela 3 prikazuje izračunate ukupne snage gubitaka u svakom od stacionarnih stanja. One su izračunavane korišćenjem formula (4) i (7), pri čemu je srednja temperatura namotaja određivana kao zbir srednjih temperatura ulja, određene iz njene promene dobijene merenjem (analogno postupku opisanim u vezi sa slikom 7) i razlike srednje temperature namotaja i srednje temperature ulja (postupak se svodi na rešavanje sistema od dve jednačine, 4 i 5).

Tabela 4 prikazuje vrednosti toploplotnih provodnosti, dobijenih kao kolnik odgovarajućih vrednosti snage (tabela 3) i razlike temperature (tabela 2).



Slika 7 – Razlika temperature gornjeg ulja i ambijenta pri delu eksperimenta za 45 Hz i struju 1.4 r.j.

Tabela 2. Razlika temperature gornjeg ulja i ambijenta (K) u ustaljenim toploplotnim stanjima

I/I _n	60 Hz	52.5 Hz	45 Hz	37.5 Hz	30 Hz
1.6	31.2	32	35.4	36.4	38.1
1.4	21.2	23.4	24.7	27	28
1.2	15.4	16.3	18.3	20.2	21.1
1	10.3	11.7	12.1	13.5	14.3

Tabela 3. Ukupne snage gubitaka (W) u ustaljenim toploplotnim stanjima

I/I _n	60 Hz	52.5 Hz	45 Hz	37.5 Hz	30 Hz
1.6	902	906	913	917	924
1.4	653	656	658	664	667
1.2	460	461	465	467	468
1	310	312	312	312	314

Tabela 4. Toplotne provodnosti (W/(m K)) između ostataka transformatora (gornje ulje) i ambijenta

I/I _n	60 Hz	52.5 Hz	45 Hz	37.5 Hz	30 Hz
1.6	28.93	28.34	25.83	25.17	24.23
1.4	30.91	28	26.69	24.55	23.83
1.2	29.95	28.24	25.34	23.13	22.21
1	29.96	26.49	25.84	23.2	21.99
Sr.vr.	29.94	27.77	25.93	24.0147	23.06

Vrednosti u tabeli 4 ukazuju da se toploplotna provodnost pri принудном strujanju malo menja sa opterećenjem, odnosno sa promenom temperature površi preko koje struji vazduh.

Može se reći da je promena na nivou merne greške, numeričke greške u obradi signala, kao i uticaja termičkih parametara koji je uticaj zanemaren. Zbog toga je formula zavisnosti toploplotne provodnosti prelaska toplove na vazduh formirana na osnovu srednje toploplotne

provodnosti (jedna vrednost za svaku od brzina ventilatora, određena kao srednja vrednost merenja za različita opterećenja).

Postupkom fitovanja parametara u usvojenom izrazu zavisnosti topotne provodnosti (između gornjeg ulja i ambijenta) u funkciji frekvencije napajanja motora ventilatora (f) dobija se

$$\left. \begin{array}{l} \{_{2(1)}^{AF} = 23.0637 + 0.0753 \cdot (f - 30)^{1.3282} \end{array} \right. \quad (9)$$

Identičnim postupkom se dolazi i do izraza za topotnu provodnost između srednjeg ulja i ambijenta:

$$\left. \begin{array}{l} \{_{2(2)}^{AF} = 21.7083 + 0.1488 \cdot (f - 30)^{1.1475} \end{array} \right. \quad (10)$$

5. REZULTATI PRORA UNA POTREBNE BRZINE VENTILATORA

Osnovni cilj istraživanja je upravljanje radom ventilatora. Rezultati koji se daju u ovom poglavljiju se baziraju na ciljnog kriterijumu upravljanja da se održava konstantna temperatura gornjeg ulja. Donja granica vrednosti frekvencije, proistekla iz praktičnih ograničenja u ostvarenoj laboratorijskoj postavci, je 30 Hz.

U tabeli 5 su prikazane vrednosti izračunate u estanosti napajanja pri kojima bi se za različita opterećenja (I/I_n) u stacionarnom topotnom stanju uspostavila temperatura gornjeg ulja jednaka zadatoj ($\left[_{gu ref}^{gu ref} + [a]\right]$). Vrednosti su dobijene na sledećim gubicima i konstruktivnim delovima transformatora su određeni koristeći formulu (7), snage gubitaka u namotajima su izračunate rešavanjem sistema jednačina (4), (5) i (6), pri čemu je u izrazu (6) korišćena topotna provodnost $\{_{2(2)}^{AF}$, ako se stacionarno stanje uspostavlja pri u estanosti napajanja većoj od 30 Hz i manjoj od nominalne u estanosti (60Hz). U tabeli 6 su prikazane izračunate vrednosti temperature gornjeg ulja pri različitim frekvencijama napajanja motora ventilatora (30Hz i 60Hz), kao i u AN režimu rada ($f=0$), kada je korišćena topotna provodnost $\{_{2(2)}^{AN}$.

Tabela 5. U estanost napajanja motora ventilatora pri $[a]=20^\circ\text{C}$ pri zadatoj temperaturi gornjeg ulja

I/I_n	$\left[_{gu ref}^{gu ref}\right]$	45	47.5	50	52.5	55
1.6				57.5	50.3	43.4
1.4		44.5	34.2	30	*	*
1.2	*	*	*	*	*	

* - Regulator radi u histerezisnom režimu (30Hz - AF i isključeni ventilatori - AN) i održava temperaturu gornjeg ulja.

Rezultati prikazani u tabeli 6 pokazuju opsege temperature gornjeg ulja u kojima je moguće vršiti regulaciju, kao i razlog zbog koga su neka polja u tabeli 5 prazna, a u neka je upisana * (regulator radi u histerezisnom režimu).

Tabela 6. Porasti temperature gornjeg ulja (K) za granice u estanosti napajanja motora ventilatora (30Hz i 60Hz) i ONAN režim rada pri $[a]=20^\circ\text{C}$

I/I_n	F	60	30	0
1.6	49.3	59.6	78	
1.4	41.4	48.4	65.2	
1.2	35.1	39.8	54.5	
1	30.1	33.2	45.5	

U tabeli 7 su prikazani rezultati proračuna temperature najtoplje takođe za različite referentne temperature gornjeg ulja: prvi korak je određivanje gubitaka korišćenjem formula (4) - (7), pri čemu je u izrazu (5) korišćena topotna provodnost $\{_{1(2)}$, a u izrazu (6) topotna provodnost $\{_{2(2)}^{AF}$, ako se stacionarno stanje uspostavlja pri u estanosti napajanja većoj od 30 Hz, odnosno $\{_{2(2)}^{AN}$ ako je u estanosti napajanja ispod 30 Hz; drugi korak izračunavanje porasta temperature najtoplje takođe, iz (6), pri čemu je korišćena topotna provodnost $\{_{1(1)}$.

Tabela 7. Porasti temperature najtoplje takođe namotaja za radne temperature iz tabele 5

I/I_n	$\#_{gu ref}$	25	27.5	30	32.5	35
1.6	90.3	90.3	91.2	94.1	97.1	
1.4	71.7	74.6	75.5	82.1	84.9	
1.2	62	64.7	67.3	69.3	69.3	
1	50	50	50	50	50	

6. REZULTATI MERENJA

Na eksperimentalnoj postavci je izvršen skup merenja, iz kojih su u tabeli 8 prikazane vrednosti u estanosti napajanja motora za registrovana stacionarna stanja. Stacionarna stanja su nastajala kao rezultat rada primjenjenog PI regulatora, sa temperaturom gornjeg ulja kao ulaznom veličinom i frekvencijom napona napajanja motora, kao izlaznom veličinom.

Tabela 8. Rezultati dejstva regulatora (u estanosti napajanja motora, Hz) na laboratorijskoj postavci

I/I_n	$\#_{gu ref}$	36	27.6	18	16.7	33.3	28
1.6	36.96					49.92	
1.4			33.23				35.93
1.2				43.2	56.4		

7. PORE ENJE PODATAKA DOBIJENIH MERENJEM I SIMULACIJOM

U cilju provere ta nosti formiranog matemati kog modela, izvršeni su prora uni za slu ajeve za koje su izvršena merenja (tabela 8). Rezultati su prikazani u tabeli 9. Vrednosti u tabelama 8 i 9 omogu avaju pore enje procenjene u estanosti napajanja motora ventilatora da bi se ostvario zadati porast temperature gornjeg ulja u odnosu na ambijent pri specificiranim optere enjima.

Tabela 9. Rezultati dejstva regulatora (u estanost napajanja motora, Hz) dobijeni pri simulaciji

I/I_n	36	27.6	18	16.7	33.3	28
1.6	37				49.83	
1.4		36.14				34.37
1.2			43.87	51.2		

8. ZAKLJU AK

U radu je prikazan laboratorijski prototip sistema za nadzor temperatura i upravljanje ventilatorima za hla enje ONAN/ONAF transformatora. Temperatura gornjeg ulja je merena, a temperatura najtoplje ta ke ra unata preko merene temperature gornjeg ulja i merene struje, na na in koji je u skladu sa standardima i koji se esto primenjuje u praksi.

Prikazani su rezultati brojnih merenja, odnosno vrednosti temperatura u ustaljenim topotnim režima; na osnovu njih su uspostavljene funkcionalne zavisnosti koje opisuju promenljivost topotnih parametara sa promenom brzine obrtanja ventilatora. Kako je autorima rada poznato, ne postoje publikacije u kojima je kvalitativno analiziran uticaj promene brzine obrtaja ventilatora tokom rada transformatora, što je od velikog zna aja ako se želi regulacija brzine obrtaja radi postizanja globalne optimizacije rada rashladnog sistema (najjednostavniji kriterijum je održavanje temperature gornjeg ulja na zadatoj vrednosti).

Podešavanje dinamike regulacije brzine ventilatora, kao i generisanja referentne vrednosti temperature gornjeg ulja, sa svim ograni enjima (najtoplja ta ka,

gornje ulje, u svakom trenutku i pri specificiranoj rezervi preoptere enja) e biti tema naših budih publikacija. Pored toga, analizira se i ukupni gubici - uzimanje u obzir ne samo potrošnje ventilatora/pumpi, ve i zavisnost gubitaka od srednje temperature namotaja.

9. ZAHVALNICA

Rad je nastao u okviru projekta TR 33024, „Poveanje energetske efikasnosti, pouzdanosti i raspoloživosti elektrana EPS-a utvrdanjem pogonskih dijagrama generatora i primenom novih metoda ispitivanja i daljinskog nadzora”, koji finansira Ministarstvo prosvete, nauke i tehnološkog razvoja Republike Srbije.

LITERATURA

- [1] IEC Loading guide for oil-immersed power transformers, IEC Standard 60076-7, Edition 1.0, Dec. 2005.
- [2] IEEE Guide for Loading Mineral-Oil-Immersed Transformers, IEEE Standard C57.91-1995, 1995.
- [3] Z. R. Radakovic, K. Feser. A new Method for the calculation of the hot-spot temperature in power transformers with ONAN cooling, IEEE Trans. on Power Delivery, vol. 18, no. 4, 1284-1292, Oct. 2003.
- [4] Z. R. Radakovic, M. S. Sorgic. Basics of detailed thermal-hydraulic model for thermal design of oil power transformers, IEEE Trans. on Power Delivery, vol. 25, no. 2, pp. 790-802, Apr. 2010.
- [5] Z. R. Radakovic, S. Tenbohlen. Thermal model of oil power transformers with tap changer, Turk J Elec Eng & Comp Sci. [Online]. DOI:10.3906/elk-1408-208, Apr. 2015: <http://online.journals.tubitak.gov.tr/openAcceptedDocument.htm?fileID=517167&no=100137>
- [6] Radakovic, Z. Numerical determination of characteristic temperatures in directly loaded power oil transformer, European Transaction on Electrical Power (ETEP), vol. 13, no. 1, pp. 47-54, January/February 2003.

SUMMARY

CONTROL OF COOLING OF AN OIL-IMMersed POWER TRANSFORMER BY VARYING SPEED OF FANS

The paper presents a prototype system for speed control of cooling fans for a small oil-immersed 6.6 kVA transformer, implemented on a standard PLC. Generally, the potential for optimization of the cooling process depends on the accessible cooling modes and construction of the transformer; basically the aim of the cooling system control is reduction in power consumption of the fans / pumps and keeping the top-oil temperature at constant value (to reduce transformer "breathing" and infiltration of moisture). The following constraints should be taken into account: hot-spot temperature, its current value and the one which would appear for planned overloads must not exceed the allowed limit. Based on the results in steady state, the paper offers the quantitative determination of transformer thermal characteristics depending on the fan speed.

Key words: Cooling optimization, AF cooling, hot-spot temperature, top oil temperature, power transformer